



Laboratorium EMVO Sp. J. Urbański, Pawelak
ul. Jasna 1
00-013 Warszawa

ul. Mostowa 1, 80-778 Gdańsk



AB 1630

Sprawozdanie z pomiarów pól elektromagnetycznych - środowisko nr 01/09/OŚ/2025-P4



| | | |
|-------------------|--|--------------------------|
| Nr i nazwa stacji | OLC0002A | |
| Adres | 19-400 Olecko, Goldapska 1, ID 281304_4.0002.167/9, pow. olecki, woj. warmińsko-mazurskie | |
| Opracowanie | | Specjalista ds. pomiarów |
| Autoryzacja | | Kierownik Laboratorium |
| Podpis | Podpis jest prawidłowy Dokument podpisany przez ; Laboratorium EMVO Data: 2025.09.07 09:20:14 CEST | |
| Data | 2025-09-03 | |

Spis treści

| | |
|---|---|
| 1. Informacje ogólne. | 3 |
| 2. Podstawa prawna..... | 3 |
| 3. Opis pomiarów | 3 |
| 4. Zróżnicowanie dopuszczalne poziomy pól elektromagnetycznych..... | 5 |
| 5. Charakterystyka źródeł PEM..... | 5 |
| 6. Wyniki pomiarów. | 6 |
| 7. Stwierdzenie zgodności | 8 |
| 8. Oświadczenie..... | 8 |
| 9. Spis załączników. | 8 |

1. Informacje ogólne.

| | |
|---|---|
| Zleceniodawca – podmiot udzielający informacji | P4 Sp. z o.o., ul. Wynałazek 1, 02-677 Warszawa |
| Istotne informacje dostarczone przez klienta | komplet informacji niezbędnych do wykonania pomiarów i opracowania sprawozdania |
| Dane otrzymane od klienta mogące mieć wpływ na ważność wyników | dane anten sektorowych, dane anten radioliniowych, parametry pracy instalacji (w tym moce EIRP), ustawienie pochylenia anten, nazwa/nr obiektu, lokalizacja (adres) instalacji, współrzędne geograficzne instalacji |
| Prowadzący instalację | P4 sp. z o.o., ul. Wynałazek 1, 02-677 Warszawa |
| Lokalizacja obiektu | 19-400 Olecko, Goldapska 1, ID 281304_4.0002.167/9, pow. olecki, woj. warmińsko-mazurskie |
| Miejsce instalacji anten | dach |
| Miejsce instalacji urządzeń | outdoor |
| Osoby wykonujące pomiar | |
| Data wykonania pomiaru | 03.09.2025 |
| Temperatura na początku pomiaru [°C] | 22 |
| Temperatura na koniec pomiaru [°C] | 23 |
| Warunki atmosferyczne | brak opadów |
| Wilgotność na początku pomiaru [%] | 78 |
| Wilgotność na koniec pomiaru [%] | 71 |
| Godzina rozpoczęcia pomiaru | 15.25 |
| Godzina zakończenia pomiaru | 17.00 |
| Inne źródła pól elektromagnetycznych oznaczone na załączniku graficznym | występują |
| Parametry pracy instalacji – informacja od klienta | tryb eksploatacyjny |

2. Podstawa prawna.

2.1 Normy i rozporządzenia:

- Ustawa z dnia 27 kwietnia 2001 r. Prawo Ochrony Środowiska (Dz.U. 2025 poz. 647),
- Rozporządzenia Ministra Zdrowia z dnia 17 grudnia 2019 r. w sprawie dopuszczalnych poziomów pól elektromagnetycznych w środowisku (Dz. U. z 2019 r., poz. 2448),
- Rozporządzenie Ministra Klimatu z dnia 17.02.2020 r. w sprawie sposobów sprawdzania dotrzymania dopuszczalnych poziomów pól elektromagnetycznych w środowisku (Dz. U. z 2022 r., poz. 2630).

3. Opis pomiarów

| | |
|-----------------------|---|
| Metodologia pomiarowa | Pomiary w oparciu o Rozporządzenie Ministra Klimatu z dnia 17 lutego 2020 r. w sprawie sposobów sprawdzania dotrzymania dopuszczalnych poziomów pól elektromagnetycznych w środowisku (Dz.U. 2022 poz. 2630). |
| Cel badań | Sprawdzenie dotrzymania dopuszczalnych poziomów pól elektromagnetycznych w środowisku. |

| | |
|--|--|
| Opis zestawu pomiarowego | <p>Miernik Narda NBM 520 nr D-1232 - 30/WL, Sonda EF9091 nr A-0078 - 31/WL , o zakresie pomiarowym 0,7 V/m 300V/m pracująca w paśmie 80 MHz – 90 GHz, świadectwo wydane przez Laboratorium Wzorców i Metrologii Pola Elektromagnetycznego, Instytut Telekomunikacji, Teleinformatyki i Akustyki Politechniki Wrocławskiej. Świadectwo wzorcowania LWiMP/W/307/25 ważne do 05.08.2027r.</p> <p>Miernik Narda NBM 520, Sonda EF 9091 pracująca w zakresie temperatury -10°C - +50°C oraz wilgotności 5% - 95%. Niepewność rozszerzona 52,6% przy poziomie ufności 95% z uwzględnieniem współczynnika rozszerzenia k=2.</p> |
| Wyposażenie pomocnicze | <p>Termohigrometr Termik+S nr 1330823 - WL/51. Sprawdzany okresowo. Dalmierz laserowy BOSCH Professional GLM 40 nr 328411728 - WL/59. Sprawdzany okresowo. GPS Garmin 65 nr 6QA008956 - WL/55. Sprawdzany okresowo w punktach osnowy geodezyjnej, zgodnie z procedurą laboratorium PZ-6.5 sprawdzanie wewnętrzne WL.</p> |
| Procedura doboru pionów pomiarowych | <p>Laboratorium przed przystąpieniem do pomiarów wykonało obliczenia rozkładu pól elektromagnetycznych pochodzących od badanej instalacji (z wykorzystaniem superpozycji charakterystyk propagacyjnych od producenta anten dla zastosowanych anten z uwzględnieniem topografii terenu, aktualnej zabudowy usługowo-mieszkaniowej oraz parametrów pracy urządzeń i anten otrzymanych od zleceniodawcy), przyjęło strategię pomiarową doboru pionów pomiarowych w oparciu o wykonane obliczenia oraz sporządzony dokument Analiza Obszaru Pomiarowego.</p> |
| Odległość, do której zostały wykonane pomiary | <p>Pomiary zostały wykonane do odległości, dla której, na podstawie uprzednio przeprowadzonych obliczeń, stwierdzono w miejscach dostępnych dla ludności występowanie pól elektromagnetycznych o najwyższym poziomie, które pochodzą z badanej instalacji.</p> |
| Pomiary zostały wykonane | <ol style="list-style-type: none"> 1. w miejscach dostępnych dla ludności, w szczególności w tych miejscach, w których, na podstawie uprzednio przeprowadzonych obliczeń, stwierdzono występowanie w danych zakresach częstotliwości pól elektromagnetycznych o poziomach zbliżonych do poziomów dopuszczalnych, określonych w przepisach wydanych na podstawie art. 122 ust. 1 ustawy z dnia 27 kwietnia 2001 r. – Prawo ochrony środowiska. 2. na obszarze pomiarowym, dla którego, na podstawie uprzednio przeprowadzonych obliczeń stwierdzono w miejscach dostępnych dla ludności występowanie pól elektromagnetycznych o najwyższym poziomie, które pochodzą z badanej instalacji zgodnie z wymaganiami pkt 5 ppkt 2 oraz pkt 13 ppkt 1 Rozporządzenia Ministra Klimatu z dnia 17 lutego 2020 r. w sprawie sposobów sprawdzania dotrzymania dopuszczalnych poziomów pól elektromagnetycznych w środowisku (Dz.U. 2022 poz. 2630). Wyniki obliczeń nie uwzględniały parametrów pracy instalacji innych operatorów występujących na obiekcie bądź w obszarze pomiarowym. 3. na głównych i pomocniczych kierunkach pomiarowych, na kierunkach zbliżonych do azymutów anten oraz w dodatkowych pionach pomiarowych zgodnie z wymaganiami pkt 13, 14 i 19 Rozporządzenia Ministra Klimatu z dnia 17 lutego 2020 r. (Dz.U. 2022 poz. 2630). 4. miejsca niedostępne podczas wykonywania pomiarów wskazane zostały w pkt 6 tabeli (wyniki pomiarów) 5. w dodatkowych pionach pomiarowych w lokalach oraz na balkonach i tarasach, na których mogą przebywać ludzie, po poinformowaniu o planowanych pomiarach z minimum 3-dniowym wyprzedzeniem i po umożliwieniu dostępu do lokalu, balkonu lub tarasu przez jego dysponenta lub bez zachowania terminu wskazanego w pierwszej części zdania za zgodą dysponenta przestrzeni pomiarowej. |
| Dobór dodatkowych pionów pomiarowych w lokalach oraz na balkonach i tarasach | <p>Dodatkowe pionów pomiarowe w lokalach, na balkonach i tarasach zostały wybrane zgodnie z procedurą laboratorium nr PP 7.3/7.4/7.5-11 drogą metod obliczeniowych, z uwzględnieniem: rodzaju badanej instalacji (w tym parametrów technicznych instalacji), lokalizacji badanej instalacji, ukształtowania terenu wokół badanej instalacji. Na podstawie obliczeń nie stwierdzono w lokalach, na balkonach i tarasach wartości nie mniejszych niż poziomów dopuszczalnych określonych w przepisach wydanych na podstawie art. 122 ust. 1 ustawy z dnia 27 kwietnia 2001 r. – Prawo ochrony środowiska.</p> |

Sposób powiadamiania dysponentów

Zgodnie z pkt 14 Rozporządzenia Ministra Klimatu z dnia 17 lutego 2020 r. w sprawie sposobów sprawdzania dotrzymania dopuszczalnych poziomów pól elektromagnetycznych w środowisku (Dz.U. 2022 poz. 2630). Informacji dokonuje się poprzez rządowy portal internetowy SI2PEM (<https://si2pem.gov.pl>) lub zawiadomienie spółdzielni mieszkaniowej, zarządcy nieruchomości, zarządu wspólnoty, umieszczenie informacji o planowanych pomiarach na tablicach ogłoszeń w klatkach schodowych bloków lub na drzwiach wejściowych, przekazanie zawiadomienia do administracji lub recepcji obiektu, pozostawienie informacji w skrynkach pocztowych itp. lub przekazanie osobiste.

Warunki pracy urządzeń nadawczych

Tryb pracy eksploatacyjny.

4. Zróżnicowanie dopuszczalne poziomy pól elektromagnetycznych.

Zakresy znajdują się w Dzienniku Ustaw z dnia 17 grudnia 2019 r. przedstawione są w tabeli nr 2 (Dz. U. z 2019r. poz. 2448).

| Zakres częstotliwości pola elektromagnetycznego | Parametr fizyczny | | |
|---|------------------------------|------------------------------|------------------------------------|
| | Składowa elektryczna E (V/m) | Składowa magnetyczna H (A/m) | Gęstość mocy S (W/m ²) |
| od 400 MHz do 2000 MHz | $1,375 \times f^{0,5}$ | $0,0037 \times f^{0,5}$ | f / 200 |
| od 2 GHz do 300 GHz | 61 | 0,16 | 10 |

5. Charakterystyka źródeł PEM.

Zgodnie z informacją otrzymaną od klienta pomiary zostały wykonane przy ustawieniach pochylenia anten zgodnych z pkt. 13, ppkt 2 załącznika do rozporządzenia Ministra Klimatu z dnia 17 lutego 2020 roku.

Tabela 1. Anteny sektorowe - dane otrzymane od klienta

| | | | | | | | | | | | | | | | | |
|---------------------------------|---|-----------------------------------|-------|-------|-------|----------------------------|-------|-------|-------|----------------------------|-------|-------|-------|-------|-------|-------|
| Charakterystyka promieniowania | | kierunkowa | | | | | | | | | | | | | | |
| Rzeczywisty czas pracy [h/dobę] | | 24 | | | | | | | | | | | | | | |
| Rodzaj wytwarzanego pola | | stacjonarne | | | | | | | | | | | | | | |
| Lp | Wyszczególnienie | sektor 1 | | | | sektor 2 | | | | sektor 3 | | | | | | |
| I | Nadajnik stacji bazowej: | | | | | | | | | | | | | | | |
| 1 | Typ / Producent | DBS/RBS / Overlay Huawei/Ericsson | | | | | | | | | | | | | | |
| 2 | Częstotliwość (pasmo) MHz | 2600 | 2100 | 1800 | 900 | 800 | 2600 | 2100 | 1800 | 900 | 800 | 2600 | 2100 | 1800 | 900 | 800 |
| 3 | Maksymalna moc nadawana na sektor [dBm] | 52,04 | 53,01 | 53,01 | 47,78 | 49,03 | 52,04 | 53,01 | 53,01 | 47,78 | 49,03 | 52,04 | 53,01 | 53,01 | 47,78 | 49,03 |
| II | Obciążenie: | | | | | | | | | | | | | | | |
| 1 | Typ anteny | CommScope RRZZVV-65B-R6NV3 | | | | CommScope RRZZVV-65B-R6NV3 | | | | CommScope RRZZVV-65B-R6NV3 | | | | | | |
| 2 | Producent anteny | CommScope | | | | CommScope | | | | CommScope | | | | | | |
| 3 | Ilość anten | 1 | | | | 1 | | | | 1 | | | | | | |
| 4 | Azymut | 100 | | | | 240 | | | | 340 | | | | | | |
| 5 | Zakres kątów pochylenia anten [°] | 2,00-12,00 | | | | 2,00-12,00 | | | | 2,00-12,00 | | | | | | |
| 6 | Wysokość zainst. n.p.t. [m] | 30,00 | | | | 33,00 | | | | 33,00 | | | | | | |
| 7 | EIRP [W] | 36584 | | | | 36584 | | | | 36584 | | | | | | |

Tabela 2. Anteny radioliniowe - dane otrzymane od klienta

| Charakterystyka promieniowania | | | | kierunkowa | | | |
|---------------------------------|------------------|---------------------------|---------------------|------------------|---------------------|------------|--|
| Rzeczywisty czas pracy [h/dobę] | | | | 24 | | | |
| Rodzaj wytwarzanego pola | | | | stacjonarne | | | |
| Lp. | Linia radiowa | | | Antena | | | |
| | typ/producent | częstotliwość pracy [GHz] | moc wyjściowa [dBm] | typ/producent | średnica anteny [m] | azymut [°] | wysokość zainstalowania n.p.t. [m] (środek elektryczny anteny) |
| 1 | OPTIX RTN/HUAWEI | 80 | 18 | A80S03/Huawei | 0,3 | 199 | 30,00 |
| 2 | OPTIX RTN/HUAWEI | 80/23 | 19/25 | A23S80S06/Huawei | 0,6 | 261 | 33,00 |
| 3 | OPTIX RTN/HUAWEI | 80 | 18 | A80S06/Huawei | 0,6 | 335 | 33,00 |

6. Wyniki pomiarów.

Wyniki pomiarów pól elektromagnetycznych dla celów ochrony środowiska przedstawia poniższa tabela. Piony pomiarowe zostały przedstawione w zał. 2.

| Nr PP | Pole-E [V/m] | Pole-E+U [V/m] | Pole-H [A/m] | Pole-H+U [A/m] | Wysokość pomiaru [m] | Współrzędne PP x, y | Opis PP | WM _E | WM _H |
|-------|--------------|----------------|--------------|----------------|----------------------|-------------------------------|--|-----------------|-----------------|
| 1 | 0,8* | 1,22 | 0,002 | 0,003 | 0,3 - 2,0 | 54°2'33.31"N 22°29'47.58"E | otoczenie stacji bazowej wzdłuż gł. osi promieniowania - GKP | 0,044 | 0,044 |
| 2 | 1,3 | 1,98 | 0,003 | 0,005 | 0,3 - 2,0 | 54°2'36.7"N 22°29'44.45"E | otoczenie stacji bazowej wzdłuż gł. osi promieniowania - GKP | 0,072 | 0,072 |
| 3 | 1,3 | 1,98 | 0,003 | 0,005 | 0,3 - 2,0 | 54°2'36.68"N 22°29'46.06"E | otoczenie stacji bazowej wzdłuż gł. osi promieniowania - GKP | 0,072 | 0,072 |
| 4 | 1,2 | 1,83 | 0,003 | 0,005 | 0,3 - 2,0 | 54°2'38.24"N 22°29'45.27"E | otoczenie stacji bazowej wzdłuż gł. osi promieniowania - GKP | 0,067 | 0,067 |
| 5 | 0,8* | 1,22 | 0,002 | 0,003 | 0,3 - 2,0 | 54°2'30.43"N 22°29'48.89"E | otoczenie stacji bazowej wzdłuż gł. osi promieniowania - GKP | 0,044 | 0,044 |
| 6 | 1,0 | 1,53 | 0,003 | 0,004 | 0,3 - 2,0 | 54°2'29.29"N 22°29'48.68"E | otoczenie stacji bazowej wzdłuż gł. osi promieniowania - GKP | 0,055 | 0,055 |
| 7 | 0,8 | 1,22 | 0,002 | 0,003 | 0,3 - 2,0 | 54°2'31.12"N 22°29'45.32"E | otoczenie stacji bazowej wzdłuż gł. osi promieniowania - GKP | 0,044 | 0,044 |
| 8 | 1,1 | 1,68 | 0,003 | 0,004 | 0,3 - 2,0 | 54°2'30"N 22°29'42.77"E | otoczenie stacji bazowej wzdłuż gł. osi promieniowania - GKP | 0,061 | 0,061 |
| 9 | 0,9 | 1,37 | 0,002 | 0,004 | 0,3 - 2,0 | 54°2'28.47"N 22°29'37.56"E | otoczenie stacji bazowej wzdłuż gł. osi promieniowania - GKP | 0,050 | 0,050 |
| 10 | 0,8 | 1,22 | 0,002 | 0,003 | 0,3 - 2,0 | 54°2'31.63"N 22°29'45.27"E | otoczenie stacji bazowej wzdłuż gł. osi promieniowania - GKP | 0,044 | 0,044 |
| 11 | 0,8* | 1,22 | 0,002 | 0,003 | 0,3 - 2,0 | 54°2'31.46"N 22°29'39.92"E | otoczenie stacji bazowej wzdłuż gł. osi promieniowania - GKP | 0,044 | 0,044 |
| 12 | 1,0 | 1,53 | 0,003 | 0,004 | 0,3 - 2,0 | 54°2'31.68"N 22°29'52.93"E | otoczenie stacji bazowej wzdłuż gł. osi promieniowania - GKP | 0,055 | 0,055 |
| 13 | 1,0 | 1,53 | 0,003 | 0,004 | 0,3 - 2,0 | 54°2'31.09"N 22°29'58.67"E | otoczenie stacji bazowej wzdłuż gł. osi promieniowania - GKP | 0,055 | 0,055 |
| 14 | 0,8* | 1,22 | 0,002 | 0,003 | 0,3 - 2,0 | 54°2'30.26"N 22°30'4.91"E | otoczenie stacji bazowej wzdłuż gł. osi promieniowania - GKP | 0,044 | 0,044 |
| A | 1,4 | 2,14 | 0,004 | 0,006 | 0,3 - 2,0 | 54°2'32.04"N 22°29'47.67"E | ul. Gołdapska 1, piętro V, korytarz, pomiar w otworze okiennym - DPP | 0,078 | 0,078 |
| | 1,9 | 2,90 | 0,005 | 0,008 | 0,3 - 2,0 | | ul. Gołdapska 1, piętro IV, korytarz, pomiar w otworze okiennym - DPP | 0,105 | 0,105 |
| B | 0,9 | 1,37 | 0,002 | 0,004 | 0,3 - 2,0 | 54°2'32.57"N 22°29'50.28"E | ul. Gołdapska 1, piętro IV, korytarz, pomiar w otworze okiennym - DPP | 0,050 | 0,050 |
| | 0,9 | 1,37 | 0,002 | 0,004 | 0,3 - 2,0 | | ul. Gołdapska 1, piętro III, korytarz, pomiar w otworze okiennym - DPP | 0,050 | 0,050 |
| C | 0,8* | 1,22 | 0,002 | 0,003 | 0,3 - 2,0 | 54°2'30.44"N 22°29'50.25"E | ul. Wojska Pol. 2, pomiar przy bramie - DPP | 0,044 | 0,044 |

„Bez pisemnej zgody Laboratorium niniejsze sprawozdanie nie może być powielane inaczej, jak tylko w całości. Ponadto wyniki dotyczą tylko badanych obiektów przywołanych w niniejszym sprawozdaniu z badań”

| Nr PP | Pole-E [V/m] | Pole-E+U [V/m] | Pole-H [A/m] | Pole-H+U [A/m] | Wysokość pomiaru [m] | Współrzędne PP x, y | Opis PP | WM _E | WM _H |
|-------|--------------|----------------|--------------|----------------|----------------------|-------------------------------|---|-----------------|-----------------|
| D | 0,8* | 1,22 | 0,002 | 0,003 | 0,3 - 2,0 | 54°2'33.29"N 22°29'52.68"E | ul. Gołdapska 6, piętro I, pomiar w otworze okiennym - DPP | 0,044 | 0,044 |
| | 0,8 | 1,22 | 0,002 | 0,003 | 0,3 - 2,0 | | ul. Gołdapska 6, parter, pomiar w otworze okiennym - DPP | 0,044 | 0,044 |
| E | 0,9 | 1,37 | 0,002 | 0,004 | 0,3 - 2,0 | 54°2'31.65"N 22°29'55.95"E | ul. Ludowa 1A, piętro I, klatka schodowa, pomiar w otworze okiennym - DPP | 0,050 | 0,050 |
| | 1,2 | 1,83 | 0,003 | 0,005 | 0,3 - 2,0 | | ul. Ludowa 1A, parter, klatka schodowa, pomiar w otworze okiennym - DPP | 0,067 | 0,067 |
| F | 0,8* | 1,22 | 0,002 | 0,003 | 0,3 - 2,0 | 54°2'29.87"N 22°30'0.16"E | ul. Sembrzyckiego 1, pomiar przy furtce - DPP | 0,044 | 0,044 |
| G | 1,4 | 2,14 | 0,004 | 0,006 | 0,3 - 2,0 | 54°2'30.53"N 22°30'2.74"E | ul. Sembrzyckiego 5, piętro I, pomiar w otworze okiennym - DPP | 0,078 | 0,078 |
| | 0,9 | 1,37 | 0,002 | 0,004 | 0,3 - 2,0 | | ul. Sembrzyckiego 5, parter, pomiar w otworze okiennym - DPP | 0,050 | 0,050 |
| H | 1,4 | 2,14 | 0,004 | 0,006 | 0,3 - 2,0 | 54°2'29.35"N 22°29'39.65"E | ul. Leśna 1C, piętro II, klatka schodowa, pomiar w otworze okiennym - DPP | 0,078 | 0,078 |
| | 1,9 | 2,90 | 0,005 | 0,008 | 0,3 - 2,0 | | ul. Leśna 1C, piętro II, klatka schodowa, pomiar w otworze okiennym - DPP | 0,105 | 0,105 |
| | 1,3 | 1,98 | 0,003 | 0,005 | 0,3 - 2,0 | | ul. Leśna 1C, parter, pomiar przy otworze okiennym od zewnątrz - DPP | 0,072 | 0,072 |
| I | 0,8* | 1,22 | 0,002 | 0,003 | 0,3 - 2,0 | 54°2'34.03"N 22°29'49.32"E | ul. Gołdapska 3, parter, pomiar przy otworze okiennym od zewnątrz - DPP | 0,044 | 0,044 |
| J | 1,3 | 1,98 | 0,003 | 0,005 | 0,3 - 2,0 | 54°2'36.25"N 22°29'45.73"E | ul. Moniuszki 3, parter, pomiar przy otworze okiennym od zewnątrz - DPP | 0,072 | 0,072 |
| K | 1,5 | 2,29 | 0,004 | 0,006 | 0,3 - 2,0 | 54°2'37.43"N 22°29'44.82"E | ul. Moniuszki 4, piętro I, pomiar na balkonie - DPP | 0,083 | 0,083 |
| | 1,1 | 1,68 | 0,003 | 0,004 | 0,3 - 2,0 | | ul. Moniuszki 4, parter, pomiar przy otworze okiennym od zewnątrz - DPP | 0,061 | 0,061 |
| L | 1,1 | 1,68 | 0,003 | 0,004 | 0,3 - 2,0 | 54°2'30.32"N 22°30'1.45"E | ul. Sembrzyckiego 3, parter, pomiar przy otworze okiennym od zewnątrz - DPP | 0,061 | 0,061 |

Wynik pomiaru pole - E [V/m] - maksymalna wartość chwilowa zmierzona w danym pionie pomiarowym (uśredniona na podstawie punktu 11 załącznika do Rozporządzenia Ministra Klimatu z dnia 17 lutego 2020 r. w sprawie sposobów sprawdzania dotrzymania dopuszczalnych poziomów pól elektromagnetycznych w środowisku (Dz.U. 2022 poz. 2630). Zgodnie z pkt. 7 załącznika do Rozporządzenia Ministra Klimatu z dnia 17 lutego 2020 r. w sprawie sposobów sprawdzania dotrzymania dopuszczalnych poziomów pól elektromagnetycznych w środowisku (Dz.U. 2022 poz. 2630) nie stosuje się poprawek pomiarowych.

Przyjęto najniższą dopuszczalną wartość składowej elektrycznej pola dla objętego pomiarami zakresu częstotliwości min(ME_{gr})= 28 V/m oraz składowej magnetycznej min(MH_{gr})= 0,073 A/m.

* - wartość zmierzona poniżej zakresu akredytacji. Do obliczeń przyjęto wartość zgodną z dolną granicą akredytowanego zakresu pomiarowego metody.

GKP - główne kierunki pomiarowe

PKP - pomocnicze kierunki pomiarowe

DPP - dodatkowe punkty pomiarowe

PP - pion pomiarowy

U - niepewność pomiarowa rozszerzona, przy poziomie ufności 95%, z uwzględnieniem współczynnika rozszerzenia k=2

WM_E - wartość wskaźnikowa poziomu emisji pól elektromagnetycznych dla miejsc dostępnych dla ludności dla składowej elektrycznej pola

WM_H - wartość wskaźnikowa poziomu emisji pól elektromagnetycznych dla miejsc dostępnych dla ludności dla składowej magnetycznej pola

7. Stwierdzenie zgodności

Na podstawie wytycznych podanych w Rozporządzeniu Ministra Zdrowia z dnia 17 grudnia 2019 r. w sprawie dopuszczalnych poziomów pól elektromagnetycznych w środowisku (Dz.U. 2019 poz. 2448) oraz sposobów sprawdzania dotrzymania tych poziomów zgodnie z Rozporządzeniem Ministra Klimatu z dnia 17 lutego 2020 r. w sprawie sposobów sprawdzania dotrzymania dopuszczalnych poziomów pól elektromagnetycznych w środowisku (Dz.U. 2022 poz. 2630), dotyczących źródła wymagań, które muszą być spełnione, w oparciu o zasadę podejmowania decyzji zgodną z pkt. 26 Rozporządzenia Ministra Klimatu z dnia 17 lutego 2020 r. (Dz.U. 2022 poz. 2630), na podstawie wyników pomiarów pól elektromagnetycznych wykonanych w dniu 03.09.2025 stwierdzono, że wszystkie wyniki przeprowadzonych pomiarów w danym obszarze pomiarowym oraz wyznaczone na tej podstawie wskaźniki WME oraz WMH są mniejsze od wartości dopuszczalnych – zgodnie z przepisami wydanymi na podstawie art. 122 ust. 1 ustawy z dnia 27 kwietnia 2001 r. – Prawo ochrony środowiska – załącznikiem do Rozporządzenia Ministra Klimatu i Środowiska z dnia 17 lutego 2020 r. w sprawie sposobów sprawdzania dotrzymania dopuszczalnych poziomów pól elektromagnetycznych w środowisku (Dz.U. 2022 poz. 2630, pkt 26).

8. Oświadczenie.

Wyniki badania odnoszą się wyłącznie do badanego obiektu.

Bez pisemnej zgody sprawozdanie nie może być powielane inaczej, jak tylko w całości.

Uwagi i zastrzeżenia przyjmowane są w formie pisemnej.

9. Spis załączników.

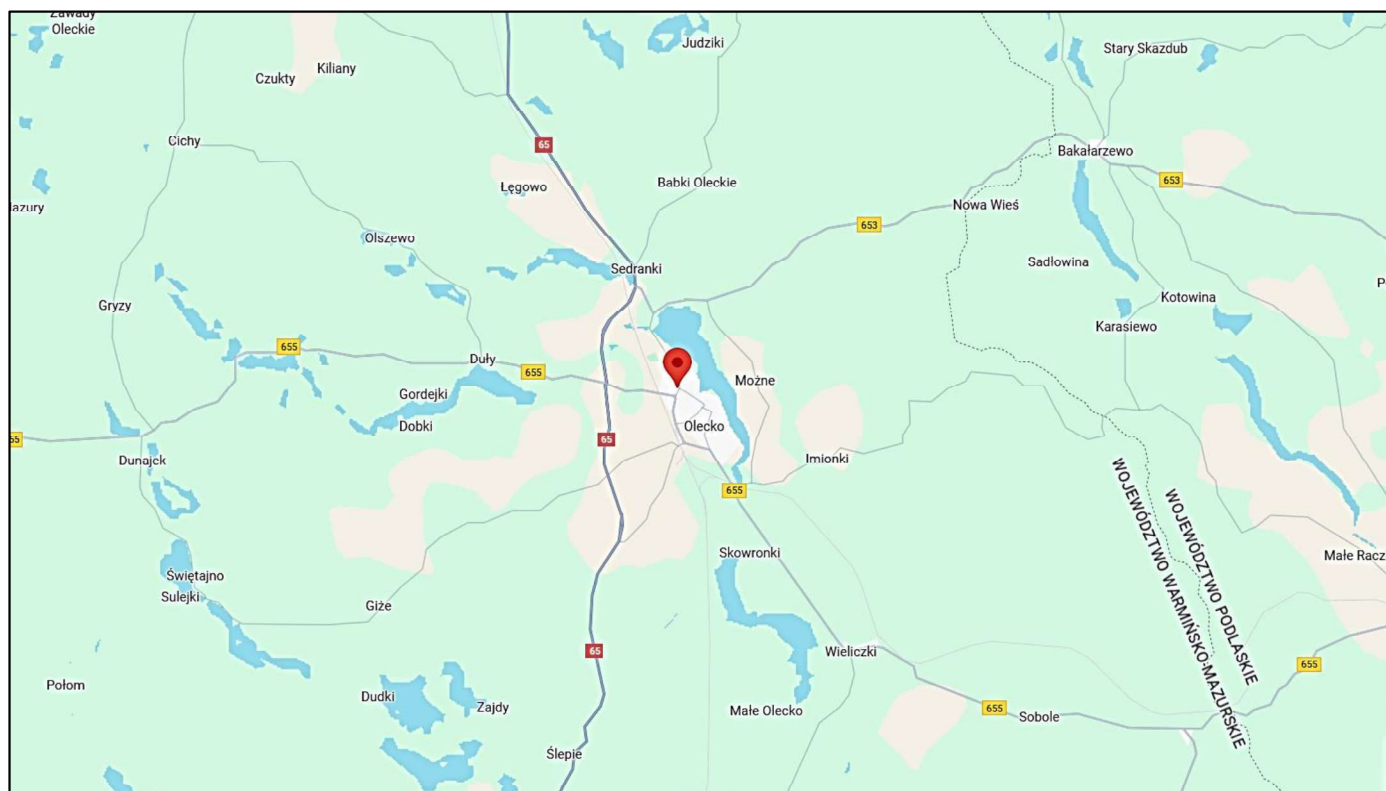
Załącznik 1. Lokalizacja obiektu.

Załącznik 2. Widok pionów pomiarowych.

Załącznik 3. Widok stacji bazowej.

Koniec sprawozdania

Załącznik 1. Lokalizacja obiektu



Współrzędne geograficzne – informacja od klienta

szerokość: 54°02'32.17"N

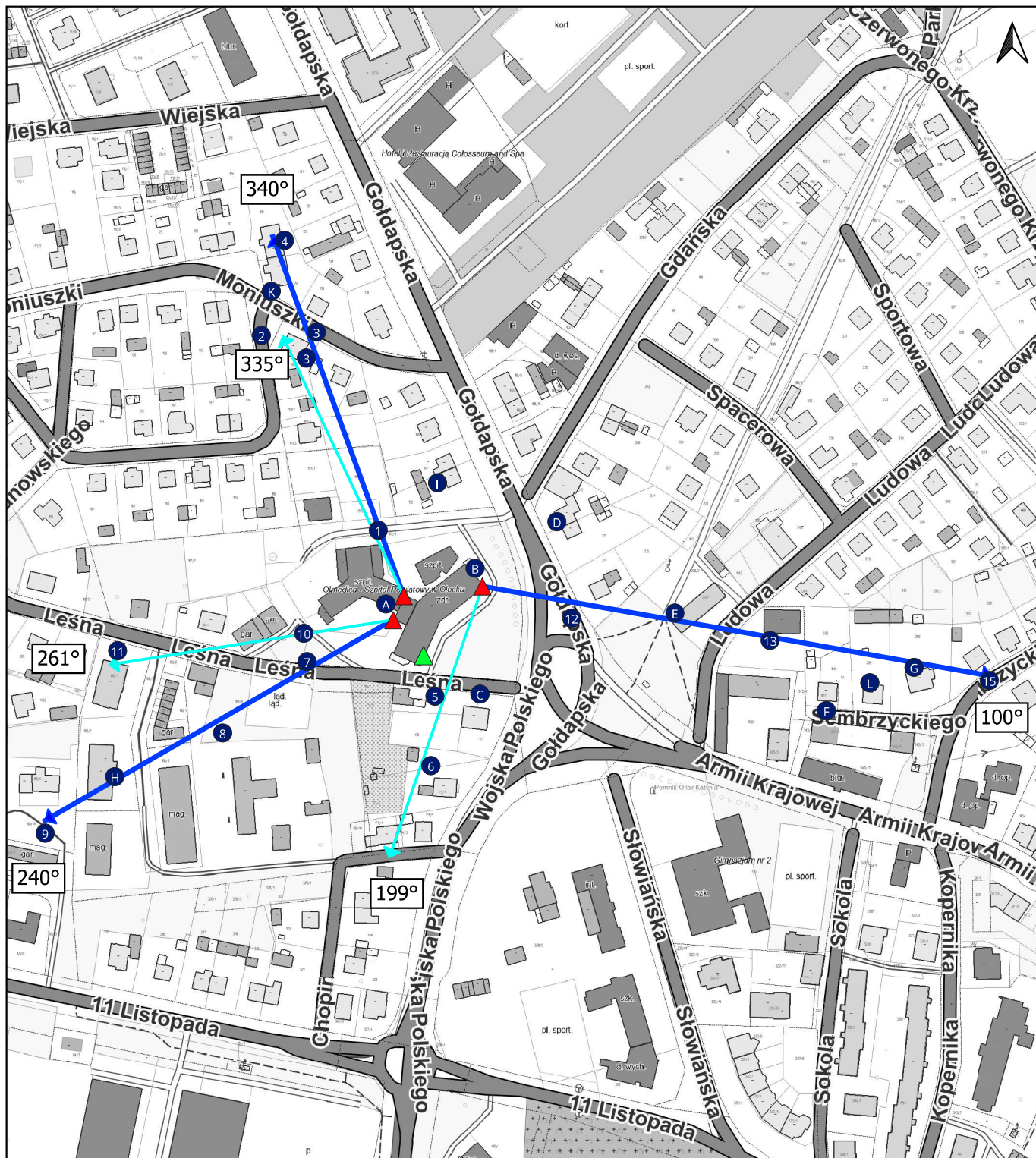
długość: 22°29'49.80"E

„Bez pisemnej zgody Laboratorium niniejsze sprawozdanie nie może być powielane inaczej, jak tylko w całości. Ponadto wyniki dotyczą tylko badanych obiektów przywołanych w niniejszym sprawozdaniu z badań”

01/09/OŚ/2025-P4

Strona 8 z 10

Zał. 2. Widok pionów pomiarowych



LEGENDA:

- pion pomiarowy
- ▲ inna instalacja radiokomunikacyjna
- ▲ instalacja radiokomunikacyjna dla której wykonano pomiar
- ➔ antena sektorowa
- ➔ antena radioliniowa
- brak dostępu

0 50 100 m



Skala: 1:3000

Pomiary wykonano do odległości:

- dla az. 100 - 270 metrów
- dla az. 240 - 210 metrów
- dla az. 340 - 200 metrów

„Bez pisemnej zgody Laboratorium niniejsze sprawozdanie nie może być powielane inaczej, jak tylko w całości. Ponadto wyniki dotyczą tylko badanych obiektów przywołanych w niniejszym sprawozdaniu z badań”

01/09/OŚ/2025-P4

Załącznik 3. Załączniki graficzne

